

# 泥沙研究

第三卷 第一期

泥沙研究工作組編輯

1958

水利电力出版社出版

## 泥沙研究 第三卷 第一期

編輯者 泥沙研究工作組  
出版者 水利電力出版社  
發行者 新華書店  
印刷者 水利電力出版社印刷厂

本期印数 1—1,100 本期定价 1.2 元

# 泥 沙 研 究

第三卷 第一期

1958 年 6 月

## 目 录

- 荆江河床質組成初步分析 ..... 長江流域規劃辦公室水文處河流研究室 (1)
- 水溫對於泥沙運動的影響 .....  
..... 中國科學院 水利科學研究院 錢寧 (15)  
水利電力部
- 紊流流速分佈及懸移質運動 ..... 武漢水運工程學院 邓佑直 (29)
- 淺水河流河床演變的斜河現象 .....  
..... 中國科學院 水利科學研究院 方宗岱 (40)  
水利電力部
- 關於水平護坦後的局部冲刷問題 ..... 工程師 H. B. 列別耶夫 (54)
- 論溢水建築物下游的研究方法 ..... 技術科學副博士 H. H. 別列寧斯基 (60)
- 論水躍後水流的不均勻分佈與脈動力 ..... 工程師 E. M. 胡洛里科娃 (65)
- 明渠水流的輸沙能力 ..... H. B. 耶格扎洛夫 (68)
- 關於 H. B. 耶格扎洛夫“明渠水流的輸沙能力”一文的意見 .....  
..... H. H. 列維 (80)
- 彎道水流的研究 ..... H. Л. 羅索福斯基 (88)
- 暗槽中懸移質泥沙與紊動傳遞作用 ..... H. M. 袁斯茂爾 (96)
- 全蘇第三次水文會議河床演變組工作情況介紹 ..... 武漢水利學院 謝鑑衡 (113)

# 荆江河床質組成初步分析

長江流域規劃辦公室水文處河流研究室

本文由我室會檢工程師主持分析，荆江河床實驗站負責測驗工作，中國科學院水工研究室錢宇研究員對測驗佈置和分析內容提供了不少有益的意見。

## 一、前 言

荆江是長江緊接三峽出口後的一段沖積河流，它的範圍，上自距宜昌下游 59 公里的枝江起，下至洞庭湖口的城陵磯止，長約 404 公里。按河型的不同，以藕池口為界又分為上下荆江兩部分。上荆江長約 171 公里，河道外形比較固定，河床每年隨水流漲落發生周期性的變化；下荆江長約 233 公里，屬於一種彎曲河道，它的外形經常變化，從 1887 年至 1947 年間曾先後分別在古長堤，尺八口和敵子弯等三處發生過自然裁直。

沖積河流的河床主要是由上游來沙中不能為水流帶走，而在當地沉積下來的泥沙所組成，因此在研究許多河流問題時，如河性，河相和河床演變等等，河床質的組成是一個不可缺少的重要因素。荆江河床質的沿程砂樣，在 1956 年 8 月才開始較全面地採集，此外，並在 1957 年 7 月於沙市附近選定一處較短的河段，進行了密集的河床質採樣。現在根據這些有限的資料，對荆江的河床質的組成作一次初步分析，以了解它的一般特性。

## 二、採樣情況

荆江河床質採樣工作曾在 1954 年起已由少數控制水文測站如枝江、观音寺、黃利等站以試測，1955 年又在荆江部分固定斷面取了一些沙樣，但全江有系統的採樣還是在 1956 年下半年開始的。關於取樣斷面位置是考慮了河段曲直的外形以及四口分流等情況，就荆江已設固定斷面中選定的。上荆江每隔三個斷面，下荆江每隔五個斷面選定取樣斷面一處；每一取樣斷面又分別在主流和左右邊澗各取沙樣一點，即全斷面取樣三點。在 1956 年 8 月 23 日起至 11 月 3 日止的一段時期內，荆江共取了 49 個斷面的河床質，計 147 個沙樣。

此外，為了進一步了解荆江河段內河床質的詳細分布情況，曾於 1957 年 6 月 23 日和 7 月 8 日兩天，在沙市附近長約 9,150 公尺的彎曲河段密集採樣一次。在該河段內每隔 300 公尺左右選定取樣斷面一處，共 27 处；並在每一斷面上採取不同數量的沙樣，其中最多的有 17 點，最少的有 6 點，平均有 11 點，全河段共計採樣 301 點。同時結合沙市段河床演變觀測工作的進行，施測了有關的水力因子。

荆江河床質採樣位置及沙市段密集採樣位置見圖 1。

荆江河床質採樣工具是一種鐵質的錐式採樣器，適用於泥沙或泥沙混合組成的河床。它由盛樣斗，鐵蓋板，彈簧圓鐵桿三種主要部分構成的（圖 2）。

盛樣斗高約 10 公分，口徑尺寸隨錐角  $\alpha$  大小而不同，錐角一般在  $30 \sim 45^\circ$  之間，視河床組成物的硬度而定。荆江水深流急，錐式採樣器由懸索施測，為了減少偏角，採樣器常以鉛魚加重，它的重量依水深和流速大小而異，最大達 250 公斤，最小也有 50 公斤。錐式河床質採樣器，在荆江應用的效果尚屬良好，雖在懸索偏角達  $65 \sim 70^\circ$ ，水深 40 ~ 45 公尺，流速接近 4 秒公尺的情況下，仍能收到了樣品。不過，由於盛樣斗高度的限制，所採樣品僅屬河床表層以下約 20 公分部分的組成。

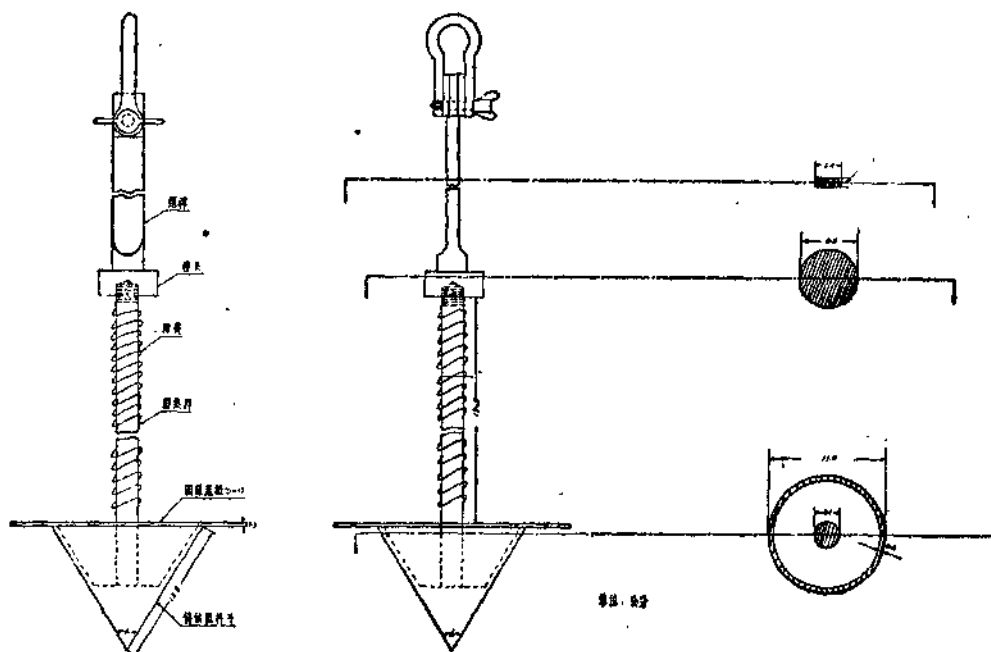


圖 2 錐式河床質採樣器構造圖

### 三、物理分析

#### 1. 顆粒分析

荆江河床質沙樣中，粒徑大於 0.1 公厘的顆粒所占沙重百分數一般都在 90% 以上；粒徑小於 0.1 公厘的較細沙粒的重量百分數在 10% 以上的僅佔極少數。因此根據泥沙顆粒的粗細決定分析方法以篩析法為主，底漏管法為輔。顆粒分析的標準是：級配上限應達到 94%，下限應達到 10%。精度要求：分析操作應合乎規定，對個別突出點須加批判，級配曲線要光滑地通過各個點子。

甲、篩分析：所用篩子系民主德國製造，牌號是 Prwfssieb-Din 1171，它是直接用孔徑來表示的，全套共有篩孔 19 種：

2.5	2.0	1.5	1.2	1.0	0.75	0.60	0.50	0.43	0.40	0.30	0.25	0.20
0.15	0.12	0.10	0.090	0.075	0.060							

公厘。

根據荆江泥沙顆粒的大小，現在經常用的篩孔只 11 種：

0.75	0.50	0.40	0.30	0.25	0.20	0.15	0.12	0.10	0.075	0.060
------	------	------	------	------	------	------	------	------	-------	-------

公厘。

在應用以上篩孔分析時，若分析成果上限不能達到 94%，則另用較大篩孔的篩子進行篩析；下限不能達到 10% 時，則將通過 0.06 公厘篩孔的沙樣，再用底漏管法分析。

篩分析的過程：沙樣自河中採取後經過涼干，在進行顆粒分析前，首先備樣。因採取河床質砂樣重量一般在 100~200 克，顆粒分析僅需 10~100 克，故將涼干的沙樣拌合均勻後，用分砂樣器在其中選取一分，放入烘杯內，置於恆溫箱中，以溫度 110~120°C 烘烤六小時以上，烘至沙重不變為止，再用天平稱其過篩前的總沙重。然後將其存沙樣的篩子放在搖篩機上過篩 10~20 分鐘，取出各層篩上的沙樣，分別裝杯，烘干，稱重，並計算小於某粒徑沙重的百分數，繪制級配曲線。分析砂樣的累積重量與其過篩前的總沙重不得大於 2%。

乙、底漏管分析：所用管的內徑是 2.54 公分，長約 120 公分，管徑在底部逐漸收縮，管底的內徑

是0.7公分，外徑是1.0公分。此法適用於0.1~0.001公厘的粒徑範圍，砂重不得超過5克，但也不得小於0.3克。

## 2. 成分鑑定

甲、鑑定方法：重砂礦物鑑定有一套專門的分析方法，所需設備較多。目前因條件限制，最初僅用放大鏡作肉眼鑑定，其精度較差，一般只能定出最常見的，容易區別的礦物名稱，如石英、長石，黑、白雲母等，其他礦物，特別是暗色礦物，由於顆粒小，表面有泥質，或氧化物的薄膜，形狀的破壞等原因，故難於區別和定名。乃改用光學鑑定，即將松散的砂粒以加拿大樹膠膠結起來磨制成長薄片，放在顯微鏡下，用光學方法鑑定。本法的優點是定名較精确，但缺點是沙樣中所有的礦物，特別是含量少的礦物，不一定都能膠結在一個面積很小的薄片上，因此所鑑定的礦物成分可能是不全面的，不過較肉眼鑑定法的精度要好。

乙、組成成分：在荆江的取樣斷面中，按不同的河段選擇了9個斷面的中泓河床質砂樣作為此次鑑定的對象。其中除斷面P.C.S.4, P.C.S.82, P.C.S.181的砂樣用兩種方法鑑定外，其餘8個砂樣只作鏡下鑑定，對肉眼鑑定的沙樣並估計了各種成分含量的百分數(體積比)。此外，並用磁鐵吸出了各個沙樣中的磁性礦物，也估計了它們占砂樣總體積的百分數。各砂樣的鑑定成分和磁性礦物含量分別列表如下：

荆江河床質成分鑑定表

斷面號數	礦物成分及百分比		備註
	肉眼鑑定	鏡下鑑定	
P.C.S. 4	石英75%，岩石碎屑8%，長石10%，黑白雲母，金雲母5%	石英，長石，角閃石，方解石，岩石碎屑，黑雲母氧化鐵	1. 鑑定單位： 長江流域規劃辦 公室地質處地質 組 2. 鑑定時間： 1957年9月 3. 成分百分比系體 積比
25		石英，岩石碎屑，方解石，長石，角閃石，輝石云母	
45		石英，方解石，岩石碎屑，角閃石，長石，輝石，綠泥石，氧化物	
64		石英，長石，岩石碎屑，方解石，角閃石，黑雲母，綠泥石，氧化物	
82	石英80%，岩石碎屑8%，長石5%，云母3%，綠泥石2%	石英，方解石，角閃石，長石，輝石，綠泥石，氧化物，岩石碎屑	
111		石英，長石，方解石，角閃石，黑雲母，氧化物	
131		石英，方解石，鐵矿(包括氯化鐵)，長石，角閃石，岩石碎屑，綠泥石，云母	
161		石英，方解石，長石，角閃石，云母，輝石，氧化鐵，泥質，鐵矿	
181	石英75%，岩石碎屑10%，長石5%，云母4%，綠泥石，煤屑	石英，方解石，長石，角閃石，黑雲母，綠泥石，岩石碎屑，磁鐵矿	

荆江河床質磁性矿物含量表

断面 号数	P.C.S. 4	P.C.S. 25	P.C.S. 45	P.C.S. 64	P.C.S. 82	P.C.S. 111	P.C.S. 131	P.C.S. 161	P.C.S. 181
磁性矿 物含量 %	10	10	7	7	6	7	6	5	10
备	1. 鑑定單位：長江流域規劃辦公室地質處地質組								
註	2. 鑑定時間：1957年9月								
	3. 百分比系体积比								

### 3. 比重測定

由於荆江河床質泥沙的質地不純，故所測比重是各種礦物質和有機質組成的混合泥沙的平均比重。根據荆江河床質試樣粒徑都在0.20公厘以下的情況，決定比重測定採用比重瓶法。它的工作程序是：首先進行比重瓶溫度校正，找出各種溫度下比重瓶盛裝蒸餾水到一定標記的重量，再分別算出試樣的烘干重量和在某種溫度時比重瓶盛裝蒸餾水及砂樣的總重量，據以計算泥沙的比重。比重瓶盛裝渾水時瓶中的空氣以煮沸法排除之。本試驗用平行試驗進行兩次，兩次結果差在0.02以內時，取其算術平均值作為最後成果。荆江各水文站所取河床質的比重如下表：

荆江各水文站河床質比重測定表

測站名稱	取 样 日 期	取樣位置	比 重		
			1	2	平 均
枝 江	1957年8月28日	中 泥	2.70	2.71	2.70
陈 家 弯	1957年5月1日	中 泥	2.69	2.68	2.69
新 厂	1957年3月14日	中 泥	2.69	2.69	2.69
盐 利	1957年5月14日	中 泥	2.73	2.71	2.72
城 陵 磬	1956年12月19日	中 泥	2.68	2.67	2.68
备 註	1. 分析單位：長江流域規劃辦公室荆江河床實驗站泥沙室 2. 分析日期：1957年8月 3. 城陵磬系長江固定斷面中泓砂樣				

天然河砂的比重一般在2.6~2.7之間，但由於荆江河床質中存在着比重較大的磁性礦物質，故它的比重有時大於2.7。

### 4. 粒狀觀察

為了了解荆江河床質的顆粒形狀，曾選定五個固定斷面所採取的中泓河床質的混合砂樣，借用中國科學院水工研究室裝制的30倍反光放大鏡，觀察和描繪它們的形狀，詳圖3。這些顆粒形狀沿程沒有顯著的變化，一般尚具有尖銳的稜角，這說明荆江的河床質泥沙在水流抉運的過程中，很少磨損，仍舊保持了原有的狀態，儘管它們的邊角部分有些損傷，但粒面是沒有磨擦過。

## 四、荊江河床質一般特性

### 1. 荆江水文特征簡介

荊江上游有長江干流及支流清江來水，經松滋及太平兩口分流後在沙市附近又注入沮漳河來水，再經藕池口及調弦口分流，在城陵磬與洞庭湖水系來水匯合，其基本特點是：來水量大，四口分流量大，汛期荊江下游受洞庭湖水頂托影響大，以致各段水流情況變化複雜。茲就水力，泥沙因子的特徵

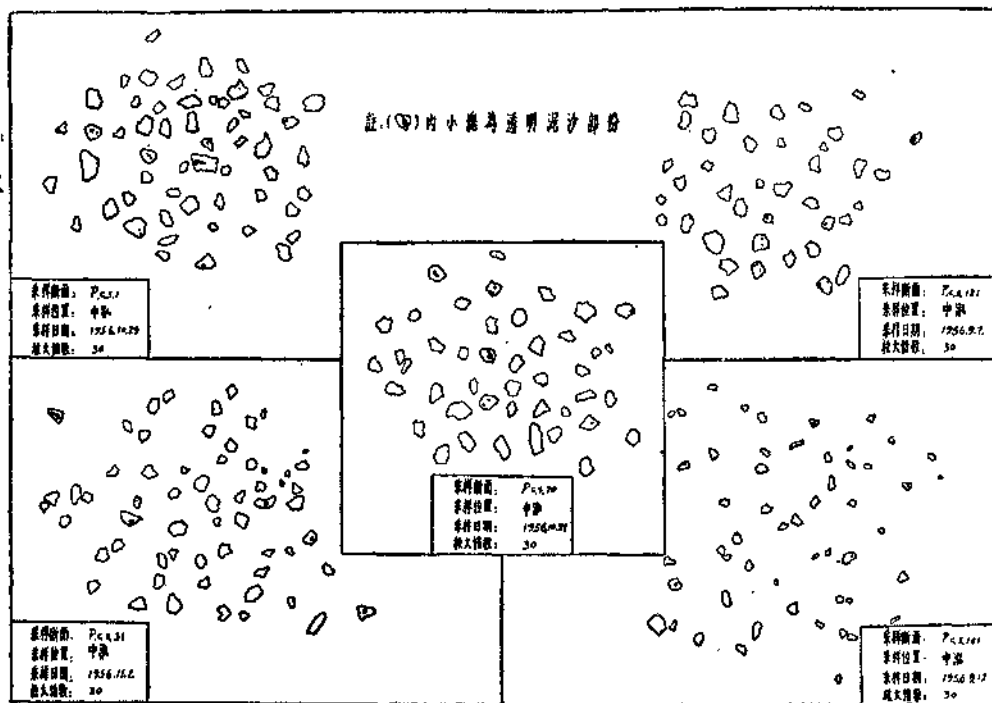


圖3 荆江河床質組成顆粒形狀圖

分述如下：

甲、水位变幅：荆江各站的全年水位变幅在大水年分大，而在小水年分小。从宜昌至石首间水位差逐渐减小，沙市、调弦、石首三处的水位差虽略有上下，但尚接近，以下从监利至城陵矶又逐渐增大。沿江各水文站水位差不同的原因，除因上下游位置关系外，四口分流及洞庭湖出水顶托是其主因。水位愈高，分流愈大；洞庭湖来水越大，荆江下游受变动回水的范围也越大。

乙、比降变化：高中水位时期，上荆江比降一般大于下荆江，低水时期，则下荆江比降一般略大于上荆江。也就是说：上荆江比降高水时期一般大于低水时期；下荆江比降高水时期，一般小于低水时期。荆江各段比降变化的原因，主要是由於四口分流和洞庭湖出水顶托的影响，但受河弯及滩险阻水，因而壅高上游有关河段水位，以致影响局部河段水面比降变化，也是原因之一，但没有前者显著。

丙、四口分流：四口分流是荆江各段流量变化的基本原因，並且四口分流量与干流流量的大小成比例，即大水年分分流量大。历年四口分流以藕池口最大，松滋口和太平口次之，调弦口最小。四口合計分流的年总量約佔枝江站年总量的28.3~35.7%。

丁、含沙量及輸沙量：月平均含沙量，高水时期上荆江各站一般都大于下荆江；中水时期上下游各站较接近；低水时期上游各站有时反小于下游各站。荆江的年平均含沙量是由上游至下游逐渐减少的——荆江各站年輸沙量主要集中在汛期5~10月份，四口年輸沙量与它的分流量成正比；大水年四口的年总輸沙量約佔干流枝江站年輸沙量的5.3%，中水年49%，小水年38%。历年四口輸沙量以藕池口为最大，松滋口与太平口次之，调弦口最小。

悬移质粒径的年内变化，在汛前颗粒較粗，愈接近汛期颗粒愈细，汛期颗粒变化不大，汛后则又轉粗，离汛期愈久颗粒愈粗， $D_{50}$ 的变化范围为0.01~0.03公厘，大於0.05公厘的粒徑組泥沙，在

荆江各段約佔全部含沙量的 20%；小於 0.01 公厘的粒徑組泥沙，在荆江各段約佔全部含沙量的 40% 左右。

## 2. 河床質的組成

荆江主槽水面的河床質主要是由均勻的中砂(0.25~0.50 公厘)和細砂(0.10~0.25 公厘)所組成，粒徑小於 0.1 公厘和大於 0.5 公厘的泥沙含量是很少的。荆江河床質主要組成的平均百分數如下表：

荆江河床質主要組成分析表

河 段	起 迄 地 点	粒 徑 組 別 (公厘)		
		0.10~0.20	0.20~0.25	0.25~0.50
上 荆 江	枝 江~蘓池口	50.8%	22.7%	21.9%
下 荆 江	蘓池口~城陵磯	60.6%	18.1%	7.4%
荆 江	枝 江~城陵磯	54.6%	20.9%	16.3%
备 註	1. 上荆江採樣 30 點，下荆江採樣 19 點。 2. 各組沙重百分比系各河段的算術平均值。			

雖然在整個荆江的 49 個河床質沙樣中，它們的組成是互不一致的，但從總的情況來看，上荆江河床質中 0.20~0.25 公厘和 0.25~0.50 公厘兩粒徑組的砂子含量都比下荆江為多，也就是說，上荆江的河床質一般是較下荆江粗一些。現在把荆江河床質中佔最大百分數的粒徑組的出現次數統計如下：

荆江河床質組成最大含量出現頻率表

河 段	起 迄 地 点	最 大 含 量 的 粒 徑 組 出 現 頻 率 (次)				
		<0.10 公厘	0.10~0.20 公厘	0.20~0.25 公厘	0.25~0.50 公厘	>0.50 公厘
上 荆 江	枝 江~蘓池口	0	20	2	8	0
下 荆 江	蘓池口~城陵磯	2	16	1	0	0
荆 江	枝 江~城陵磯	2	36	3	8	0
备 註						

在荆江所取的 49 個河床質沙樣中有 36 個的最大含量屬於 0.10~0.20 公厘的一組，該組的平均含量是 54.6%，此外應指出的是：上荆江自枝江至馬家咀一段間，有八處的採沙組成的最大含量屬於 0.25~0.50 公厘的一組；下荆江分別在洪水港和鐘家門附近兩處的床沙組成的最大含量屬於 <0.10 公厘的一組，尤其是後者在整個荆江來說，組成比較特殊，原因何在？尚待補充資料，再加研究。

圖 4 是荆江干流與分流水口門附近的河床質在汛期和非汛期的級配曲線的一些實例，該項曲線表明荆江的河床質組成是十分均勻的，除個別地點如洪水港和鐘家門附近兩處外，它們的平均不勻系數是 1.45。根據這一情況，並通過大量計算，我們可以肯定：由級配曲線上查出的荆江河床質的中數粒徑  $D_{50}$  完全可以代表由面積法或應用公式：

$$d_{50} = \frac{\sum p_i d_i}{100}, \quad d_i = \frac{1}{3} (d_1 + d_2 + \sqrt{d_1 d_2})$$

式中  $d_i$  —— 第  $i$  組泥沙的平均粒徑；

$d_1, d_2$  —— 隣近兩節孔的孔徑；

$p_i$  —— 第  $i$  組泥沙重量佔整個沙樣重量的百分數。

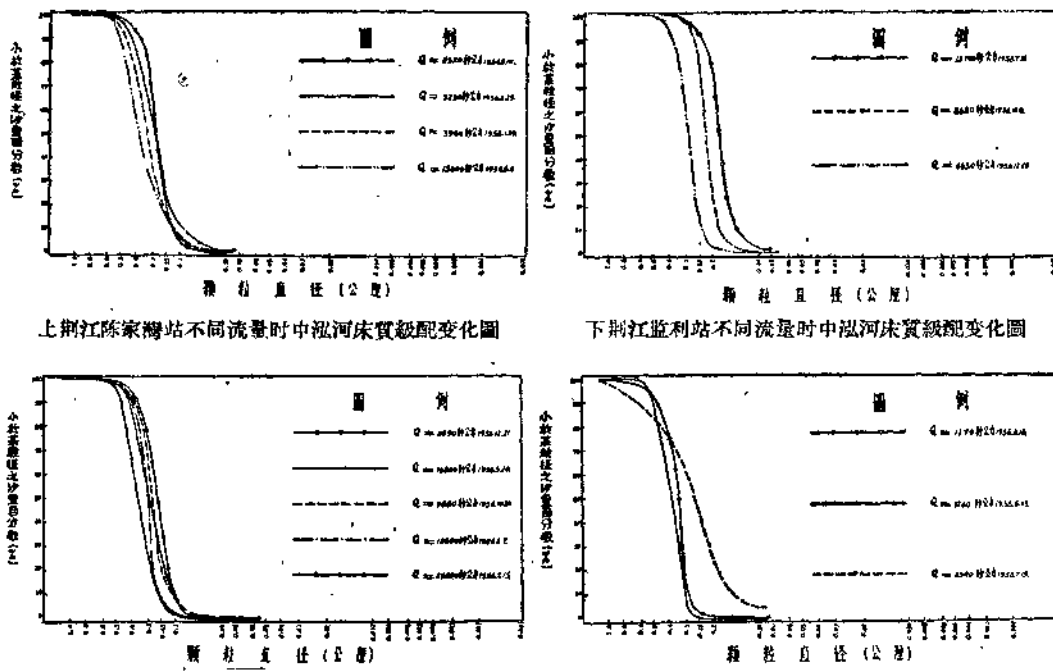


圖 4

所求得的平均粒徑  $D_{ap}$ 。荆江河床質組成的各種粒徑及不勻系數統計如下：

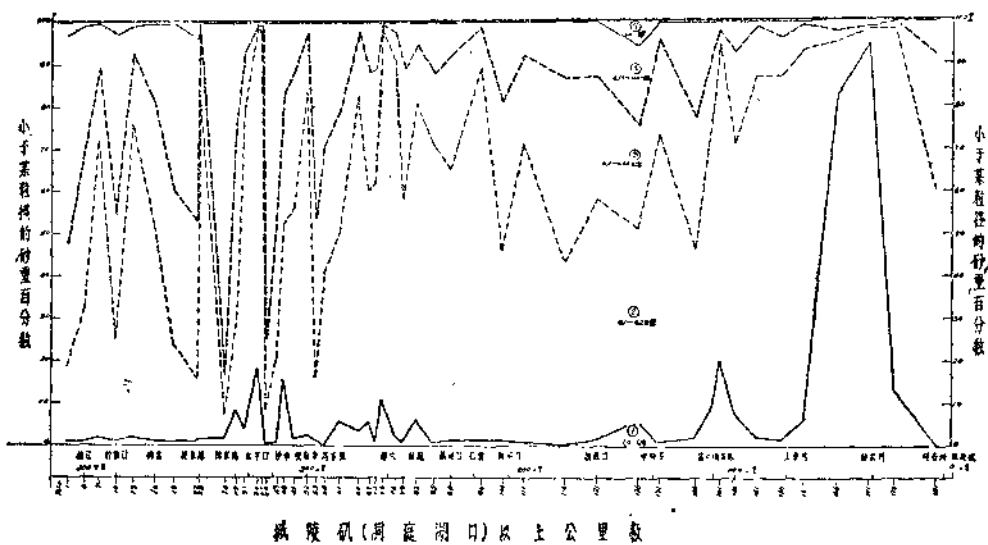
荆江河床質粒徑特徵值統計表

名 称	最 大	最 小	平 均	備 註
有效粒徑 $D_{10}$	0.220	0.050	0.135	1. 粒徑單位：公厘
中數粒徑 $D_{50}$	0.300	0.114	0.182	2. $\mu = D_{50}/D_{10}$
$D_{95}$	0.530	0.175	0.280	
不勻系數 $\mu$	4.40	1.20	1.45	

### 3. 河床質的沿程變比

圖 5 及 6 表示荆江河床質組成和它的粒徑的沿程變化情況。雖然荆江的河床質主要是由中、細砂組成，但上下荆江的河床質的沿程變化有顯著的不同，由於四口分流，河道彎曲，水面縮放，洲灘存在以及局部護岸工程等原因，使荆江各段的水力因素發生變化，並且這些變化可以從它的河床質組成的沿程變化現象上反映出來。例如在松滋，太平，鴉池等分流口門附近以及在沙市(P.C.S.43)，馬家咀(P.C.S.55)，祁家灘(P.C.S.87)，郝穴(P.C.S.76)等。狹縮護岸河段，它們的河床質粒徑顯得較粗；但在沙市(P.C.S.37)，監利(P.C.S.141)等急彎前，它們的河床質粒徑又都突然變細了。

荆江河床質組成和粒徑的沿程變化趨勢是：上荆江的河床質組成內中砂(0.25~0.5 公厘)的含量多於下荆江；下荆江則主要是由細砂(0.1~0.2 公厘)所組成。在河床質粒徑變化方面：上荆江是向下游逐漸變小，並且起伏大而多；下荆江一般變化不大，起伏小而少，但洪水港和鐘家門兩處的組成顆粒特小，與沉積在洲灘上的懸移質類似，這種情況有待進一步調查研究。若就各種不同粒徑的沿程



說明：本圖系根據長江流域規劃辦公室 1956 年 8.23~11.3 日所取荆江各測定斷面及有關水文站深泓一級河床質沙樣顆粒分析曲線繪制。

圖 5 荆江河床質組成沿程分佈圖

变化粒徑來看：整個荆江河床質的  $D_{10}$  和  $D_{50}$  的變幅較小，而  $D_{95}$  的變幅較大，除個別情況外，這三種粒徑沿程的起伏一般是一致的。

#### 4. 河床質組成與水力因素的關係

沖積河流的河床質組成是由幾種水力因素所決定，但它們之間的關係是錯綜複雜的，此次受時間的限制，我們只對一些主要因素，如流量，比降，水深，斷面平均流速，動力流速與糙率等作了个別分析，沒有做綜合研究。根據目前的資料，發現除斷面平均流速，動力流速和糙率外，其他因素對河床質的變化都存在着一定的關係。

##### 甲、與流量的關係

荆江干流各測站的河床質組成，一般是隨着流量的大小發生相應的變化，即流量大時，河床質顆粒級配就變得粗，流量小時它的顆粒級配就變得細，陳家灣站和新廠站就是這樣的實例；但還存在着不同的個別情況，例如監利站在汛期因下游河段彎曲，狹縮，水流受到頂托，它的河床質組成在流量大時反而變得小了（圖 7）。不過嚴格的說來，流量和河床質組成的關係並不是很好的。我們曾分別點繪了荆江河床質的三種不同粒徑，如  $D_{10}$ ,  $D_{50}$ ,  $D_{95}$  與流量的關係都是比較散亂的（圖 7）。但是由於荆江河床質的主要組成部分，它的變化很小，一般都在中砂和細砂的範圍以內，因此，不管流量的變幅多大，它的關係點子仍能分散成一條狹長的帶形。

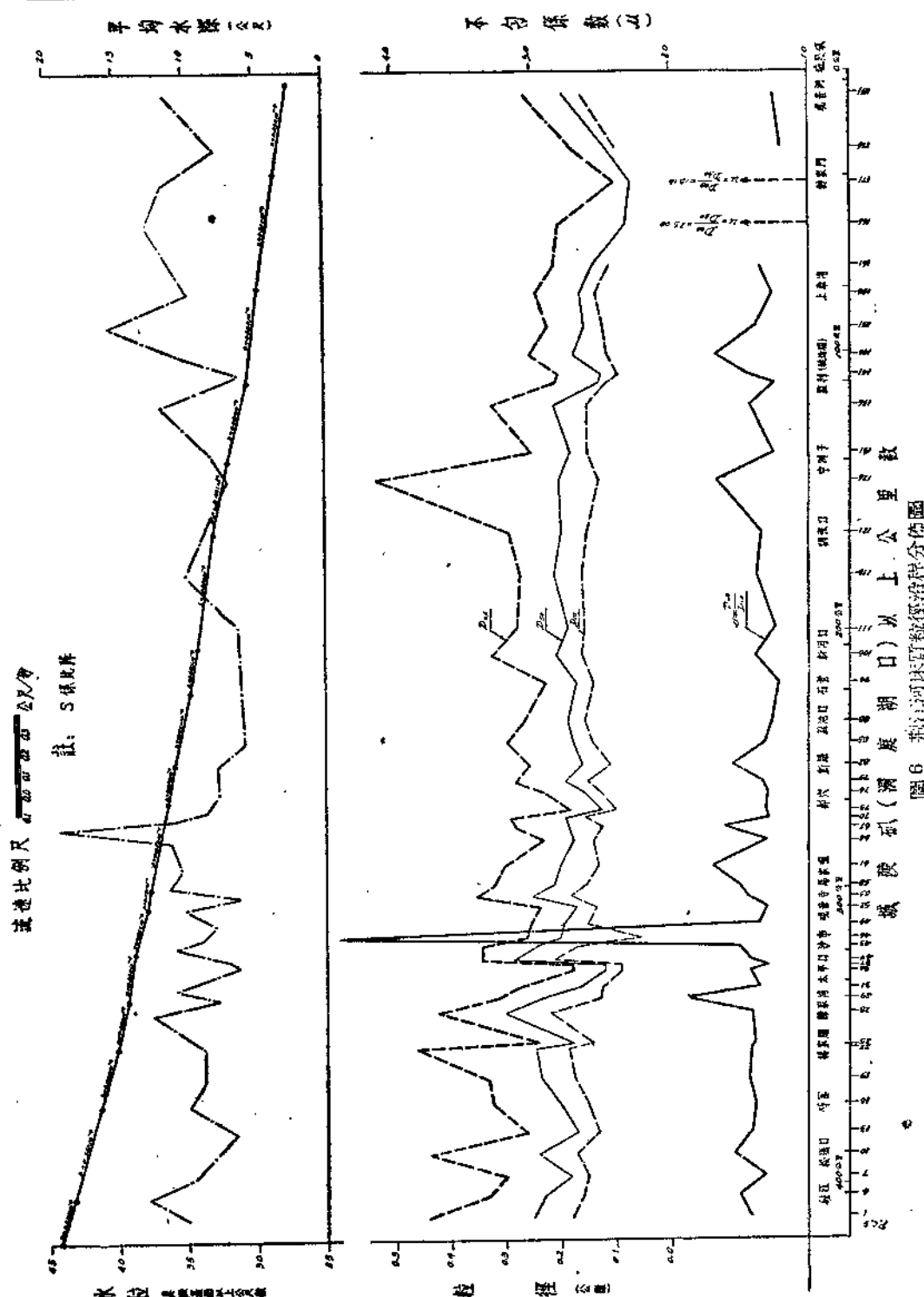
##### 乙、與比降的關係

荆江河床質粒徑和比降的關係是比較良好的，經分別點繪了荆江分段的和新廠與監利兩個水文站的河床質中數粒徑  $D_{50}$  與比降關係圖（圖 8 及 9）都證明了這一情況，荆江各河段河床質的平均中數粒徑與水面比降的關係公式如下：

$$D_{50} = 0.259 S^{0.42}$$

式中  $D_{50}$  = 河段河床質的平均中數粒徑（公厘）；

$S$  = 水面比降 ( $10^{-4}$ )。



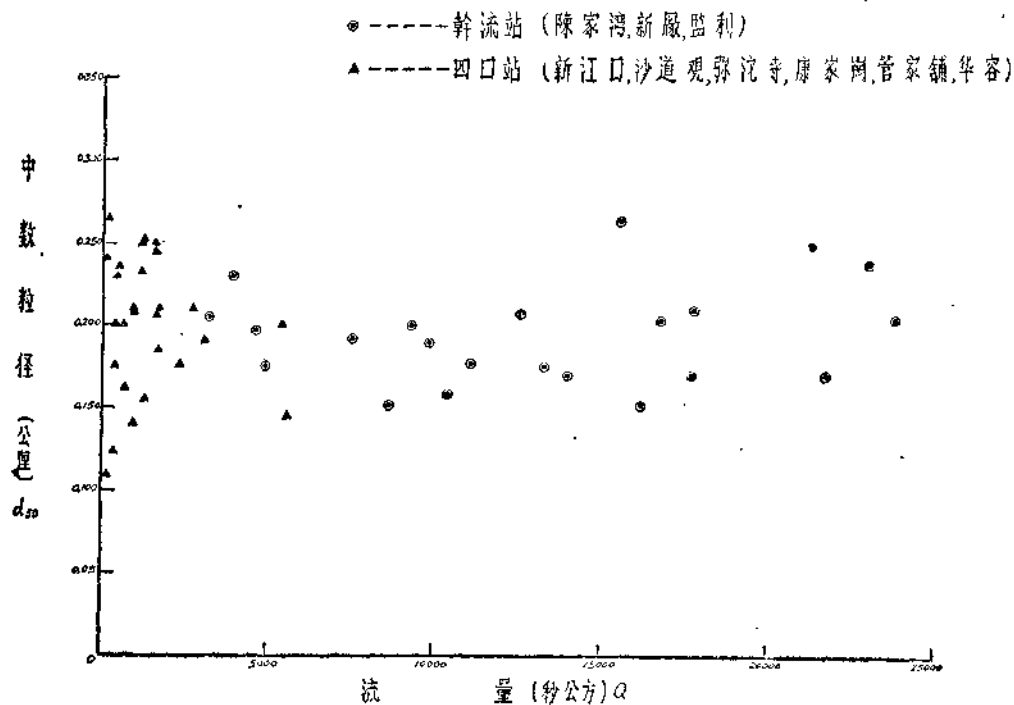


圖 7 荆江河床質中數粒徑與流量關係圖

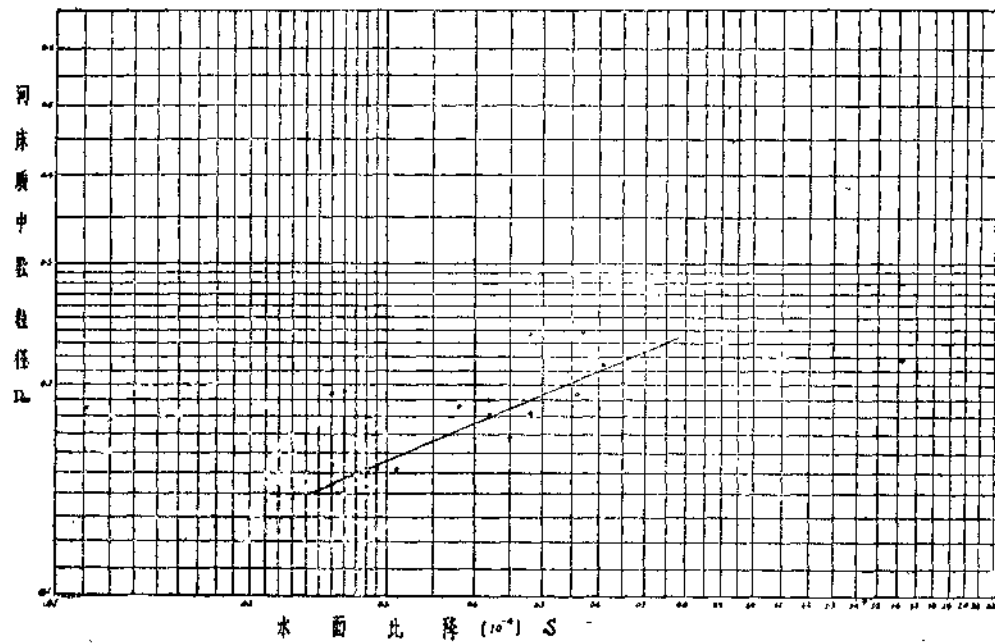


圖 8 荆江各段河床質中數粒徑～水面比降關係圖

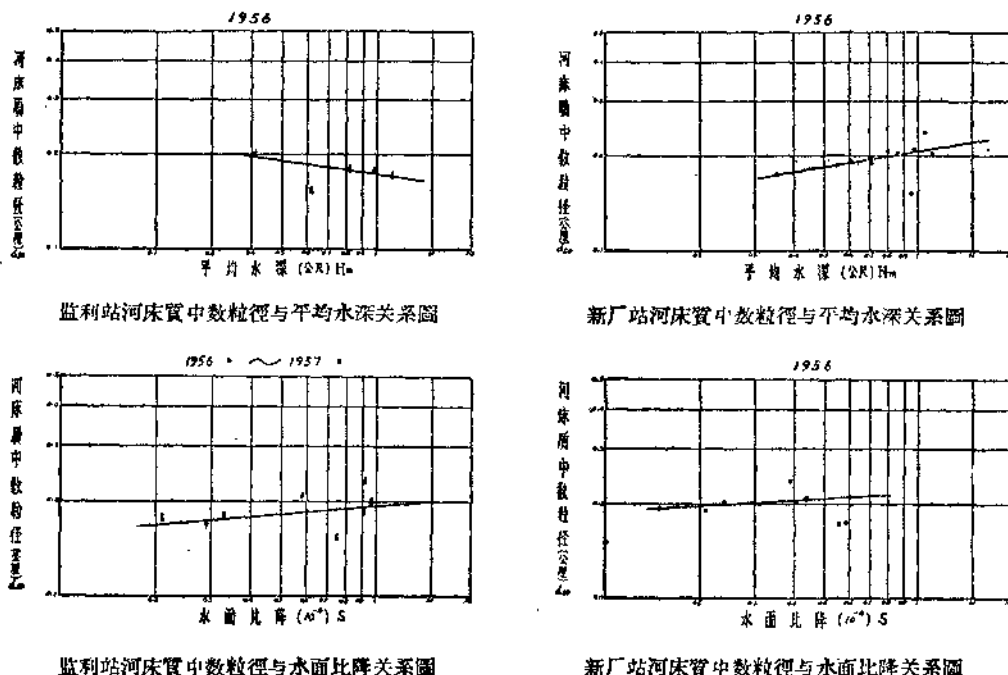


圖 9

### 三、与水深的关系

荆江沿程的实测水深或平均水深与河床质中数粒径的关系比较散乱，没有一定的规律，但新厂和监利两站的这种关系却较好，前者散乱的原因可能是荆江河段很长，受迴水顶托的河段水深虽有所增加，但水面比降减少，因此各该处的河床质中数粒径与水深的关系正好和水流不受阻之处相反，监利和新厂两站的关系就是这种情况的说明(图9)。

## 五、沙市河段河床质的组成和分布

### 1. 探样河段概况

沙市探样河段自太平口附近的固定断面 P.C.S. 32 起至沙市 P.C.S. 42—3 止，全长 9,150 公尺，属于荆江沙市弯河弯的一部分。太平口至沮漳河口为该河弯的上段，弯曲不大，河宽一般在 1,460~2,300 公尺之间(造床水位时)；沙市观音磯以下弯曲较大，江面渐形束狭，一般宽度在 992~1,540 公尺之间；至沙市下首油厂以下，江面又渐形扩大。紧接本河段上游有太平口(虎渡河)分流，中部在沙市上游附近有沮漳河来水，沙市沿江一带筑有各种护岸建筑物，对河身起束狭作用。河段内有江心洲(窖金洲)靠近右岸，上有耕地及围堤，一般洪水年分洲上不过水。在窖金洲左上部的江心中，又新长着一个潜洲(新窖金洲)。从楊家弯起至沙市二郎磯止，长约 8 公里，当地 38 公尺水位时，全部淹没。在沙市束狭处以上，由于沙洲的存在，低水时期，江流分成三股，主流逼近左岸。

### 2. 河段水流情况

本河段由于固定断面 P.C.S. 42—3 处的束狭，形成高水期上游比降变小，下游比降增大；低水时期则相反。比降变化范围为 0.35~0.88(万分率)。流速随水位上升而增大，如在固定断面 P.C.S. 41—2 处，当沙市水位 33.1 公尺时，河底流速为 0.4~0.8 秒公尺，水面流速小于 1.2 秒公尺，平均流速大部分介于 0.85~0.95 秒公尺；但当水位涨至 39.7 公尺时，河底流速亦增达 0.6~1.8 秒公尺，

水面流速一般大於 1.2 秒公尺，平均流速均在 1.3 秒公尺以上。由於本河段系一向右河弯，深槽偏於左岸，最大水面流速流向大致與深槽相適應。河段內低水時期的最大水深有 7.5~11.5 公尺，平均水深約 4.0~8.5 公尺，一般在 5.0~6.0 公尺；中水期最大水深 14~22 公尺，最小為 6.5 公尺，平均水深一般在 7.0~8.5 公尺。在沙市護岸附近，低水期最大水深一般均在 15 公尺以上，最高水位時，將近 40 公尺。沙市最低水位，一般年份為 33.5 公尺，多出現於 1~3 月份；最高水位一般年份為 43~43.5 公尺，多出現於 6~7 月份。洪峯持續時間僅數天，水位上漲率一晝夜可達 1.1 公尺，下降時一晝夜平均 0.3 公尺左右，突出的可達 0.5~0.6 公尺，沙市段實測最大流量為 50,000 秒公方（觀音寺站 1954 年 8 月），最小流量為 3,530 秒公方，（觀音寺站，1952 年 2 月）平均流量為 11,300 秒公方，造床流量約為 33,400 秒公方。

本河段在 1957 年 6 月 23 日和 7 月 8 日兩天，先後在不同斷面上採取了河床質樣各一次，當時水位變幅不大，在 39.30~40.07 公尺之間。

### 3. 河床質的組成和分布

甲、機械組成：本河段河床質的機械組成以粒徑為 0.5~0.1 公厘的中細砂為主，重量比一般均在 80% 以上。但在固定斷面 P.C.S. 34 以上因受太平口分流影響，粒徑 0.1~0.05 公厘的極細砂的含量一般增大。本河段河床質的測點平均粒徑為 0.02~0.32 公厘，斷面平均粒徑為 0.14~0.22 公厘。

乙、粒徑分布：全段河床質分布，在橫向方面，主流左側顯有規律可尋，一般由深槽趨向左岸均有由粗變細的現象；主流右側因受新審金洲淺灘的影響，粒徑分布錯亂，變幅較大。在縱向方面，固定斷面 P.C.S. 38 以上河段，粒徑變化不大，以下則多起伏，驟增驟減的現象較多。沿左岸深槽，平均粒徑較大，縱向變化於 0.20~0.32 公厘之間，若將河段內粗粒上下連成一線，大致與本段深泓線相符合。

兩岸河床質都採取於水邊，其粒徑變化範圍，在左岸為 0.14~0.039 公厘，在右岸為 0.12~0.04 公厘，顯因近岸水流滯緩，流速銳減，以致粒徑較小。

河床質在新審金洲的分布情況：洲頭上游的一段河床（P.C.S. 32~P.C.S. 35-1），它的河床質縱橫向分布均勻，粒徑變化於 0.17~0.25 公厘之間；灘頭部分（P.C.S. 35-1~P.C.S. 37）河床質分布變化不大，介於 0.11~0.22 公厘間，以 0.15~0.20 公厘為主要組成；灘頂部分（P.C.S. 38）縱向變化於 0.17~0.22 公厘間，分布均勻；洲頂以下，粒徑分布錯雜，變化較大，較粗部分一般變化於 0.19~0.22 公厘，細粒部分变动於 0.028~0.11 公厘之間，至洲尾粒徑更見減小。

### 4. 在不同水力條件下河床質的變化情況

甲、水深：據圖 11 及 12（見插頁），發現河床質平均粒徑與水深存在著下列情況：

沙市河段不同水深部分的河床質粒徑統計表

河段部分	水深 (公尺)	河床質粒徑變幅 (公厘)	主要組成的粒徑 (公厘)	備註
左泓	0~10	0.011~0.15	0.10~0.15	
	10~10 以上	0.07~0.31 0.14~0.32	0.20~0.25 0.20~0.25	P.C.S. 32~P.C.S. 34 P.C.S. 31 以下，最大水深 21.9 公尺
	10~6	0.14~0.26	0.15~0.20	
洲灘	6~1.3~6	0.028~0.21	0.15	
	6~10 以上 6~0	0.14~0.23 0.14~0.020	0.10~0.15 0.10	
右泓				

从上表可获得这样一个概念：在本河段的深槽中，水越深，它的河床質粒徑越大，而变幅較小；在淺灘部分，它的河床質粒徑較深槽為小，而变幅則較大；但淺灘的洲头洲頂的河床質粒徑又較洲頂以下為大，而粒徑变幅則以洲頂以下較大，在主副槽的等深处，它們的河床質組成基本上是相同的，粒徑变幅也近似，但主要組成的粒徑，則主槽大於副槽。河段的最大粒徑出現於深槽主流一線，而最小粒徑則發生在邊灘和淺洲的尾部。

乙、流速：从圖 10 及 11 (見插頁)的不同水面流速和相应的粒徑分布情況獲得如下的关系：

沙市河段不同水面流速部分的河床質粒徑統計表

水面流速(秒公尺)	河床質粒徑变幅(公厘)	主要組成的粒徑(公厘)	備註
>2.00	0.16 ~ 0.32	0.25	
1.00 ~ 2.00	0.14 ~ 0.29	0.20	
<1.00	0.022 ~ 0.24	0.15 ~ 0.20	

根据上表的数据，可以粗略地看到水面流速与河床質粒徑存在着一定的关系，即水面流速大，粒徑大而变幅小；反之，则粒徑小而变幅大。

丙、單寬流量：由圖 11 及 13 (見插頁)統計了以下数据：

沙市河段不同單寬流量部分的河床質粒徑統計表

單寬流量(秒公方/公尺)	河床質粒徑变幅(公厘)	主要組成的粒徑(公厘)	備註
>25	0.16 ~ 0.32	0.25	
25 ~ 20	0.12 ~ 0.32	0.20	
20 ~ 10	0.082 ~ 0.32	0.15 ~ 0.20	
10 ~ 5	0.022 ~ 0.26	0.20	
<5	0.042 ~ 0.24	0.15	

显然，單寬流量大，河床質粒徑較大而变幅小，單寬流量減小，則粒徑变幅增大而粒徑相应變小。單寬流量雖為水深與平均流速的函數，但在同一斷面上，最大粒徑的河床質不一定出現在最大水深处，而常出現在於流速最大的主流部分，這說明決定河床質粒徑大小的因素中，流速較水深的影響為大。

## 六、結 語

通过以上初步分析，对荆江河床質組成的一般特性得到如下的認識：

1. 荆江主槽表面的河床質主要是由均勻的中砂(0.25 ~ 0.50 公厘)和細砂(0.10 ~ 0.25 公厘)所組成，粒徑小於 0.1 公厘和大於 0.5 公厘的泥沙含量很少。在全部 49 個砂樣中，它們的最大含量以 0.10 ~ 0.20 公厘粒徑組的出現次數為最多，達 36 次。上荆江的河床質一般較下荆江為粗，上荆江河床質的組成內中砂(0.25 ~ 0.5 公厘)的含量多於下荆江；下荆江主要是由細砂(0.1 ~ 0.2 公厘)所組成。在粒徑的沿程變化方面，上荆江是向下游逐漸變小，並且起伏大，下荆江一般變化不大，起伏小。

2. 荆江河床質的成分是多樣的，其中以石英和長石的含量佔主要部分，據肉眼鑑定，前者約佔 77%，後者僅 7%，在河床質中並含有一定數量(5 ~ 10%)的磁性礦物質，如鐵砂等，因此，它們的比

重有时大於 2.7。砂粒的形狀，沿程沒有显著的变化，一般具有尖銳的稜角，在水流挾送的过程中很少磨損。

3. 沖积河流的河床質組成是由几种水力因素所决定，它們之間的关系是錯綜复杂的。根据荆江現有的資料初步分析，發現比降与河床質的关系較密切，同流量和水深也有一些关系，但不明显。此中原因可能由於荆江流量与水深变幅較大，而河床質主要組成的顆粒变化一般在中、細砂（0.1~0.5公厘）的范围以内，粒徑变幅不大，任何一种水力因素發生了变化，对它們都有影响，因此規律就不显著了。

4. 沙市河段河床質組成的局部变化有以下的一些現象：(1)河段內的深槽中，水越深，它的河床質粒徑越大，而变幅小，若將河段內粗粒上下連成一綫，大致与本段深泓綫相符合；淺灘部分洲头洲頂的河床質粒徑大而变幅小，洲頂以下粒徑小，而变幅大。(2)水面流速大，则河床質粒徑大而变幅小；反之，则粒徑小而变幅大。(3)單寬流量大，则河床質粒徑大而变幅小；反之，则粒徑小而变幅大。

#### 參 考 文 獻

- [1] Shōtirō Hayami (1941): On the Oomposition of the Bed Sediments in the Lower Yangtze River System.
- [2] Lorenz. G. Straub (1935): Some Observation of sorting of Riversediments.
- [3] В. Д. Ломгадзе (1952): Методы лабораторных исследований физико-механических свойств песчаных и глинистых грунтов (轉譯 1953: 砂土和粘土的物理力学性試驗法)。
- [4] 錢寧(1957): 關於“床沙質”和“冲溝質”的概念說明。